

## النماذج الإحصائية لخصائص الخيوط القطنية المعالجة ببتر الغرافين باستخدام تقنية إرجاع الموضع

ميسم محمد الأحمد<sup>1\*</sup> باسل يونس<sup>2</sup> إبراهيم الغربي<sup>3</sup><sup>1\*</sup>. طالبة دكتوراة قسم هندسة ميكانيك الصناعات النسيجية وتقاناتها، كلية الهندسة الميكانيكية والكهربائية، جامعة دمشق، سوريا. [MaisamAl-Ahmar@Damascusuniversity.edu.sy](mailto:MaisamAl-Ahmar@Damascusuniversity.edu.sy)<sup>2</sup>. أستاذ ، قسم هندسة ميكانيك الصناعات النسيجية وتقاناتها، كلية الهندسة الميكانيكية والكهربائية، جامعة دمشق، سوريا . [BaselYounes@Damascusuniversity.edu.sy](mailto:BaselYounes@Damascusuniversity.edu.sy)<sup>3</sup>. أستاذ ، قسم الفيزياء، جامعة دمشق، سوريا.[IbrahimAlghoraibi@Damascusuniversity.edu.sy](mailto:IbrahimAlghoraibi@Damascusuniversity.edu.sy)

## الملخص:

حضر في هذا البحث خيوط قطنية ناقلة للكهرباء من خلال معالجتها ببتر الغرافين الناقل للكهرباء وذلك بواسطة تقنية الغمس والتجفيف، حيث تم غمس الخيوط القطنية في محلول من أكسيد الغرافين المحضر بطريقة الأكسدة الكيميائية، ومن ثم إرجاع أكسيد الغرافين بشكل مباشر على الخيوط من خلال محلول الهيدرازين، وذلك ضمن حمام من الأمواج الفوق الصوتية، وتم دراسة العوامل المؤثرة على عملية الإرجاع والتي هي (الزمن، التركيز، درجة الحرارة)، كما تم توصيف الخيوط المعالجة بأكسيد الغرافين المرجع عليها بشكل مباشر كهربائياً من خلال قياس المقاومة الكهربائية للخيوط المعالجة، وإجراء نماذج إحصائية لدراسة التأثير المتبادل بين هذه العوامل المدروسة وأهمية تأثير كل عامل على جودة عملية الإرجاع على الخيط حيث ثبيّن أنَّ تغيير شروط عملية الإرجاع يؤثر بصورة كبيرة على الخواص الكهربائية للغرافين المحضر على الخيط القطني، وُسُختت الخواص البنوية والضوئية للخيوط المعالجة من خلال المجهر الإلكتروني الماسح (SEM) وجهاز تحليل التركيب العنصري(EDs)، وكما تم دراسة السلوك الحراري للخيط المعالج ببتر الغرافين من خلال تطبيق جهد عليه(V)20 فكانت درجة الحرارة المتولد عنه( $c^0$ )32 ودراسة البارامترات المؤثرة على السلوك الحراري، وذلك من أجل إدراج الخيوط المعالجة بالغرافين في الأقمشة الذكية المستخدمة في التطبيقات الكهربائية والحرارية.

**الكلمات المفتاحية:** أكسيد الغرافين(GO)، أكسيد الغرافين المرجع(RGO)، الهيدرازين، الخيط القطني، المجهر الماسح الضوئي (SEM).

تاريخ الإيداع: 2022/12/12

تاريخ القبول: 2023/3/2



حقوق النشر: جامعة دمشق –  
سوريا، يحتفظ المؤلفون بحقوق  
النشر بموجب CC BY-NC-SA

## Statistical modeling of the properties of graphene ink-treated cotton yarns using the site reduction technique

**Maisam Mohamad Al-Ahmar<sup>\*1</sup> Basel Younes<sup>2</sup> Ibrahim Alghoraibi<sup>3</sup>**

<sup>\*1</sup>. PhD Student, Department of Mechanical Engineering for Textile Industries, Faculty of Mechanical and Electrical Engineering, Damascus University, Syria.

[MaisamAl-Ahmar@Damascusuniversity.edu.sy](mailto:MaisamAl-Ahmar@Damascusuniversity.edu.sy)

<sup>2</sup>. Supervising Professor, Department of Mechanical Engineering for Textile Industries, Faculty of Mechanical and Electrical Engineering, Damascus University, Syria. [BaselYounes@Damascusuniversity.edu.sy](mailto:BaselYounes@Damascusuniversity.edu.sy)

<sup>3</sup>. Associate Supervising Professor, Department of Physics, and Damascus University, Syria. [IbrahimAlghoraibi@Damascusuniversity.edu.sy](mailto:IbrahimAlghoraibi@Damascusuniversity.edu.sy)

Received: 12/12/2022

Accepted: 2/3/2023



**Copyright:** Damascus University- Syria, The authors retain the copyright under a CC BY- NC-SA

### Abstract:

In this research, conductive cotton yarns were produced by processing them with conductive graphene ink through dipping and drying technology. in which the cotton yarn was dipped into a solution of graphene oxide prepared in the chemical oxidation way, and then directly reduced the graphene oxide on the strands through the hydrazine solution in a bath of ultrasonic waves, the factors affecting the reduction process were studied. (time, concentration, temperature), as the graphene oxide-treated yarns directly reduced electrically by measuring the electrical resistance of the treated yarns, Statistical modelling to study the cross-effect of these factors and the importance of each factor's impact on the quality of the reduction process on the yarns, as it was shown that changing the terms of the reduction process significantly affects the electrical properties of the graphene produced on the cotton yarn and the structural and optical properties of the yarns processed were diagnosed through the scanning electron microscope (SEM) and Energy-dispersive X-ray spectroscopy(EDs), and the thermal behavior of graphene-treated yarn was also studied by applying an voltage it (20) Volt generated temperature was 32 c° and studied parameters affecting thermal behavior, in order to include graphene-treated yarns in smart fabrics used in electrical and thermal applications.

**Keywords:** Graphene oxide (GO), Reduced graphene oxide (RGO), Hydrazine, Cotton yarn, Scanning electron microscope (SEM).

**المقدمة:**

فهي البديل الأول عن الأخبار المعدنية الباهظة الثمن (P. Drzaic et al., 2010) ، التي تتطلب عملية تصنيعها درجات حرارة عالية، وتستخدم في العديد من التطبيقات التقنية كالخلايا الشمسية الصباغية والبطاريات (P.Kewen et al., 2018)، والمكثفات عالية السعة (F.J. Jiang et al., 2019) ، والحساسات (Sahitoa.T and Sun.K, 2015) ، والأغشية (Sahitoa.T and Sun.K, 2015), وهي 2015, and He.S and Xin.B, 1038 - 1050,2021) التطبيقات الليزرية وفلترة المياه والتحفيز الضوئي والأجهزة الكهربائية (Sahitoa.T and Sun.K, 2015, and He.S and Xin.B, 1038-1050,2021) (K.Alexander and M.Shlom., 2017) وغيرها، ومن تطبيقاته الوعدة في مجال (Liu,Y et al., 2021, Samanta.A and Bordes.R, 2020 and Noothongkaew and O. Thumthan, 2017) كمستشعرات في نظم مراقبة الأنشطة الحيوية للإنسان، كونها تمتراز بخفة بالوزن وقابلية للطي اضافةً لموصيلتها العالية للتيار الكهربائي (Samanta.A and Bordes.R, 2020, Kkarim.N et al., 2018 and Noothongkaew and O. Thumthan, 2017) وقابليتها للغسيل لعدة مرات وثباتيتها (Afroj.S et al., 2021) لعمليات الطباعة والتجهيز النهائي وبالتالي يمكن ترشيح الغرافين لاستخدامه في مختلف التطبيقات الصناعية وأهمها صناعة الأقمشة الذكية (Zhou.L et al., 2020 and Kkarim.N, 2018) ، التي تستوجب خصائص ميكانيكية وكهربائية جيدة (Yin.F et al., 2020, Yun.Y 188, 2013 and S. Noothongkaew and O. et al. Thumthan, 2017).

تزايد الطلب على الخيوط الناقلة للكهرباء التي يتم نسجها وحياكتها في المنسوجات الذكية لكونها بديلة عن الأسلاك النحاسية المستخدمة في الأقمشة، حيث تمكن الخيوط الناقلة للكهرباء إدخال الخصائص الكهربائية للأقمشة من أجل مختلف التطبيقات التقنية (Tang.Y et al., 2022) ، ويتم تصنيع الخيوط الناقلة للكهرباء من خلال معالجتها بمود موصلة مثل المواد المعدنية أو الكربونية بطرق مختلفة مثل الرش، والطلاء السطحي، والطباعة على الشاشة (Jakubinek.M et al., 2012) - 248,2012).

تتصف الدوائر الإلكترونية التقليدية بصلابة الركيزة (A. C. Siegel et al., 2010) وبالتالي لها حدود مقيدة لاستخدامها في مختلف التطبيقات، في حين أن الدوائر الإلكترونية المستخدمة في الأقمشة الذكية تكون مرنة (A.C.Siegel et al., 2010 and S.Afroj et al., 2022) ، وتستخدم في العديد من التطبيقات حيث تُستخدم المنسوجات الإلكترونية حالياً في العديد من تطبيقات المراقبة لنشاطات جسم الإنسان الحيوية (Karim.N et al., 2017) ، وتستخدمها في تقدير النشاط البدني في الألعاب الرياضية اللازم للتدريب وإعادة تأهيل الرياضيين، والمراقبة الطبية مثل مستشعرات معدل ضربات القلب (K.Alexander and M.Shlom, 2019) ، وأنظمة السلامة المساعدة لاستجابة الطوارئ، والتطبيقات التجارية حيث يتم دمج أدوات التحكم الإلكترونية وشاشات العرض ولوحات المفاتيح في الملابس اليومية (K.Alexander and M.Shlom, 2019),(P. Sungmee and S. Jayaraman, 2003),(He.S et al., 2018) and (Rchana.S and Bordes. R, 2020). ومن أهم المواد التي تدخل في بناء الدوائر الإلكترونية المرنة هي مادة الغرافين والتي تعد مادة رخيصة نسبياً مقارنة بمواد (P. Drzaic et al., 2010 and K. Cherenack and L. v. Pieterson, 2012)

- الأحمر، يونس والغربي .....  
 باستخدام ماء منزوع الشوارد (DI-Water) حيث تم تحضير جميع العينات بالماء المقطر.
- 3.الأجهزة المستعملة:
- جهاز المجهر الإلكتروني الماسح (SEM، طراز Tescan Vega-II XMU5136 شركة El-Segundo، CA USA) ومن تصنيع تصوير العينات المحضرة بالمجهر الماسح الإلكتروني من أجل توصيف مورفولوجية السطح كل منها.



الشكل (1) جهاز المجهر الإلكتروني الماسح (SEM)

- جهاز مطيافية تشتت الأشعة السينية (EDs)، من طراز (EDX-100a)، ومن تصنيع شركة Shaanxi .



الشكل (2) جهاز مطيافية تشتت الأشعة السينية (EDs)

- جهاز تنظيف بالأمواج فوق الصوتية مع مثبت لدرجة الحرارة طراز DSA100-GL-4.0L

المنذجة الإحصائية لخصائص الخيوط القطنية المعالجة بحبر الغرافين .....  
 حضر في هذا البحث خيوط ناقلة للكهرباء من خلال معالجتها بحبر الغرافين الناقل للكهرباء وذلك بواسطة تقنية الغمس والتتجفيف من خلال إرجاع أكسيد الغرافين على الخيط بشكل مباشر، وتم دراسة العوامل المؤثرة على عملية الإرجاع والتي هي (الזמן، التركيز، درجة الحرارة )، وتم إجراء نمذجة إحصائية لدراسة التأثير المتبادل بين هذه العوامل المدروسة وأهمية تأثير كل عامل على جودة عملية الإرجاع على الخيط، كما تم توصيف الخيوط المعالجة بأكسيد الغرافين المرجع عليها بشكل مباشر كهربائياً من خلال قياس المقاومة الكهربائية للخيوط المعالجة من خلال المجهر الإلكتروني الماسح (sem) وتحليل التركيب العنصري (EDs)، وتم دراسة السلوك الحراري للخيط المعالج بهذه الطريقة ذو المقاومة الكهربائية الأقل من أجل إدراج الخيوط المعالجة في مختلف تطبيقات الأقمشة الذكية الناقلة للكهرباء والمولدة للحرارة.

## 2.المواد المستخدمة:

- مسحوق الغرافيت كمصدر للغرافين بنقاوة عالية 99.99%， أحضرت من شركة Sigma Aldrich .
- نترات الصوديوم  $\text{NaNO}_3$  بنقاوة 98%， أحضر من شركة Chem-Lap .
- حمض الكبريت المركز بنقاوة 98%， أحضر من شركة Sigma Aldrich .
- برمنغنات البوتاسيوم  $\text{KMNO}_4$  بنقاوة 99%， أحضر من شركة Merck .
- ماء أوكسيجيني ( $\text{H}_2\text{O}_2$ ) تجاري.
- والأمونيا بنقاوة 99%， أحضر من شركة Merck .
- هيدرات الهيدرازين جميعها أحضرت من شركة Sigma Aldrich .
- خيوط قطنية مسرحة نمرة Ne (20) أحضرت من الشركة الخامسة للغزل.

الأحمر، يونس والغربي

يرافقه ارتفاع في درجة الحرارة إلى (98 درجة مئوية) وبعد مرور 30(min) مع الاستمرار يضاف بعدها (ml) 35 من محلول H<sub>2</sub>O بتركيز 30% مع التحريك لمدة (min) 10 لضمان إنتهاء التفاعل، يحفظ المزيج لمدة 12 ساعة عند درجة حرارة 57 درجة مئوية، لوحظ تغير لون محلول من اللون الأصفر الفاتح إلى اللون البني الفاتح دليلاً على تشكيل أكسيد الغرافين GO كما هو مبين في الشكل (3).

في النهاية يُغسل الد GO عدة مرات باستخدام حمام الأمواج فوق صوتية لإزالة الشوائب وبقايا الحمض وأيونات المنغنيز ثم يُغسل تباعاً ثلاثة مرات بمحلول HCl بتركيز (0.1M) (0.1M) والميتانول ثم يجفف محلول الناتج للحصول على مسحوق صلب من أكسيد الغرافين كما هو موضح بالشكل (3).



الشكل (3) تحضير أكسيد الغرافين من خلال عملية الأكسدة الكيميائية 2: عملية الإرجاع على الخيط بشكل مباشر:

تم بعثرة نسب وزن مختلفة من أكسيد الغرافين في DI-water باستخدام الأمواج فوق صوتية لمدة (30min)، تم الحصول على GO متجانس بلون بني، تم إضافة الأمونيا لضبط درجة حموضة محلول عند Ph=10 عدتها يتم غمس الخيط القطني في محلول، وذلك ضمن حمام مائي مطبق عليه الأمواج فوق الصوتية، يليه عملية الإرجاع على الخيط بشكل مباشر من خلال إضافة (ml) 15 من محلول الهيدرازين تدريجياً إلى محلول GO المغموس فيه الخيط القطني حتى يتحول لون الخيط القطني المغموس في محلول من اللون البني إلى اللون للأسود، وبعد الانتهاء من الحصول على خيط قطني بلون

المنذجة الإحصائية لخواص الخيوط القطنية المعالجة بحبر الغرافين.....

- مجففة (CO-250-0) من شركة MEMMERT.
- ميزان الكتروني حساس بدقة تصل إلى 0.00001g من نوع SHIMADZU .
- خلاطات مغناطيسية (Magnetic Stirrer) مع منظم للحرارة.
- قياس درجة الحموضة (PH Meter) .
- دوارق وبياشر زجاجية مختلفة الأحجام وشراائح زجاجية مع حافظات لها.
- جهاز قياس المقاومة الكهربائية (AVO meter) .
- قياس درجة حرارة رقمي، (Fo -58 to +392 ) France (50 to +200 CO مولد جهد (1-20) فولت.

كاميرا الحرارية بالأشعة تحت الحمراء IR من طراز SIFROBOT-7.51 وهي جهاز يقوم بالتصوير باستخدام الأشعة تحت الحمراء بدلاً عن الضوء المرئي وبالتالي عوضاً عن الطول الموجي (nm) 450-750 للضوء المرئي يتم استخدام طول موجي للأشعة الحمراء (nm) 1400.

#### 4. الإجراء التجاري:

##### 4.1 طريقة تحضير أكسيد الغرافين (GO):

تم تصنيع أكسيد الغرافين باتباع طريقة هامر المعدلة استناداً للدراسة المرجعية [22] من خلال عملية الأكسدة الكيميائية، حيث تم وضع (90MI) من H<sub>2</sub>SO<sub>4</sub> داخل دوارق مستirer القاع في حمام جيلي للتحكم بدرجة حرارة التشغيل تتراوح بين 6-0 درجة مئوية ثم أضيف (g) 2 من بودرة الجرافيت و(g) 2 من نترات الصوديوم إلى محلول حمض الكبريت الممدد مع التحريك المستمر لمدة (20min) بهدف الحصول على مزيج متجانس، بعد ذلك تمت إضافة (g) 3 من KMnO<sub>4</sub> كعامل أكسدة تدريجياً حتى يتم تحول لون المزيج إلى اللون الأخضر مع الاستمرار بالتحريك مع ثبات درجة حرارة المزيج بحيث لا تزيد عن (15 درجة مئوية) ولمدة (120min)، بعدها تضاف كمية من الماء المقطر المنزوع الشوارد (mL) 200 إلى المزيج

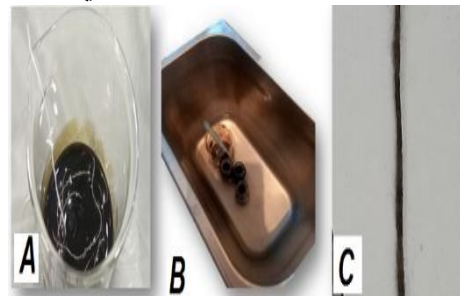
الجدول (2) قيم المقاومة الكهربائية للخيوط القطنية عند تغير البارامترات المدروسة (الزمن- التركيز- درجة الحرارة)

المقاومة الكهربائية	التركيز	درجة الحرارة	الوقت	رقم التجربة
[kΩ]	mL	[cO]	h	
190	25	25	1	1
185	25	25	2.5	2
175	25	25	4	3
172	25	50	1	4
155	25	50	2.5	5
130	25	50	4	6
120	25	100	1	7
110	25	100	2.5	8
100	25	100	4	9
200	50	25	1	10
165	50	25	2.5	11
114	50	25	4	12
108	50	50	1	13
102	50	50	2.5	14
95	50	50	4	15
89	50	100	1	16
83	50	100	2.5	17
90	50	100	4	18
350	75	25	1	19
340	75	25	2.5	20
320	75	25	4	21
300	75	50	1	22
295	75	50	2.5	23
280	75	50	4	24
270	75	100	1	25
250	75	100	2.5	26
220	75	100	4	27

حيث يلاحظ من الجدول (2) تغير المقاومة الكهربائية للعينات المدروسة الناتجة عن تغير البارامترات المدروسة والتي هي درجة الحرارة (25-50-100) درجة مئوية، والزمن (1-2.5-4) ساعة، والتركيز (ml) (25-50-75)، وكانت أقل مقاومة كهربائية (kΩ) (83) للخيط القطني المعالج بأكسيد الغرافين المرجع عند درجة حرارة 100 درجة مئوية وزمن ساعتين ونصف وتركيز (50ml) من أكسيد الغرافين.

## 5. التوصيف الضوئي:

أسود الذي يعود إلى حدوث عملية الإرجاع لأكسيد الغرافين بعد إضافة الهيدرازين، يتم غسيل الخيط المعالج بأكسيد الغرافين المرجع (ثلاث مرات) بالماء المنزوع الشوارد ثم يتم تجفيفه وذلك بدرجة حرارة الغرفة ويترك إلى اليوم الثاني .



الشكل (4) عملية الإرجاع لأكسيد الغرافين بشكل مباشر على الخيوط القطنية a:-غمس الخيط القطني ضمن محلول أكسيد الغرافين b-إرجاع أكسيد الغرافين ضمن حمام من الأمواج فوق الصوتية c-الخيط المعالج بأكسيد الغرافين المرجع .

وتم دراسة عملية الإرجاع لأكسيد الغرافين بشكل مباشر على الخيوط القطنية عند بارامترات مختلفة والتي تم تحديدها استناداً للدراسات المرجعية [148] كما هو موضح في الجدول (1):

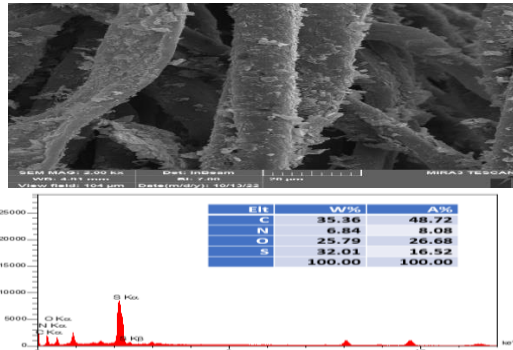
الجدول (1) البارامترات المدروسة ومستويات الدراسة لكل بارامتر

البارامتر	التركيز (كمية نسبة المذاب إلى المذيب الكلى)	درجة الحرارة	الوقت	مستوى الدراسة
mL	[c°]	h		
25	25	1	1	
50	50	2.5	2	
75	100	4	3	

وتم قياس المقاومة الكهربائية لكل من الخيوط القطنية المحضرة بالبارامترات المختلفة وكانت النتائج كما يلي مبينة بالجدول (2):

الأحمر، يونس والغربي

كانت أعلى من نسبة الأكسجين كما تظهر بعض القم مثل الكبريت (16.52%) وهذا يدل على وجود آثار قليلة من حمض الكبريت المستخدم وعدم حدوث عملية التقية بشكل جيد لأكسيد الغرافين، كما نلاحظ وجود قم لعنصر التتروجين (8.08%) حيث تعود إلى الهيدرازين المستخدم في عملية الإرجاع لأكسيد الغرافين.



الشكل (6) تحليل التركيب العنصري للخيط المعالج بأكسيد الغرافين المرجع

## 6. النمذجة الإحصائية:

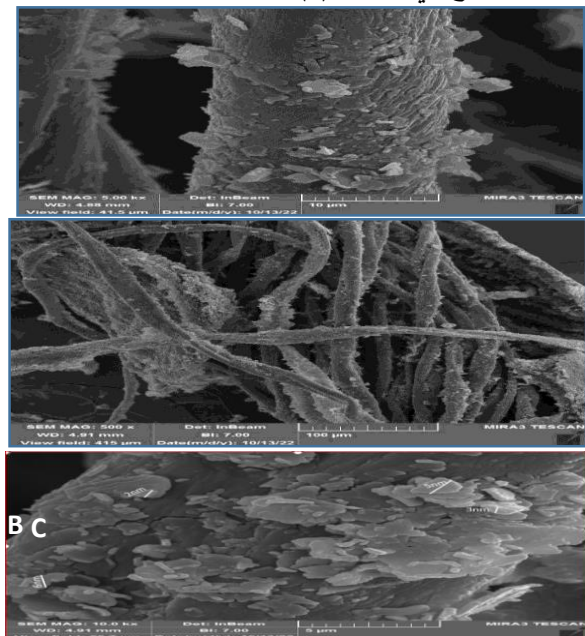
تم استخدام النمذجة الإحصائية باستخدام برنامج (STATGRAPHICS) وذلك من خلال تحليل الانحدار الخطي لدراسة تأثير كل من التركيز والزمن ودرجة الحرارة على المقاومة الكهربائية لخيوط القطنية المعالجة بحبر أكسيد الغرافين المرجع والتتأكد من نتائج التجارب المخبرية ولدراسة العلاقة بين جميع المعاملات المستقلة والتأثير المتبادل فيما بينها وخلصت نتائج الدراسة إلى القيم المبينة في الجدول (2).

### أولاً: مخطط باريتو:

يبين في الشكل (7) مخطط تأثير مقادير الدخل على المقاومة الكهربائية لخيوط القطنية المعالجة حيث نلاحظ من الشكل أن عامل تركيز أكسيد الغرافين هو المؤثر الأكبر على المقاومة الكهربائية وأن تأثيره طردي أي تزداد المقاومة الكهربائية بزيادته والعكس بالعكس، يليه عامل درجة الحرارة تأثيراً على المقاومة الكهربائية وبشكل عكسي أي أنه كلما زادت درجة الحرارة تتحسن المقاومة الكهربائية لخيط القطن المعالج، وأما بالنسبة لعامل الزمن كان أقل تأثير على المقاومة الكهربائية وتأثيره

النمذجة الإحصائية لخواص الخيوط القطنية المعالجة بحبر الغرافين.....

وصفت طبغرافية السطح للخيط المعالج بأكسيد الغرافين المرجع ذو المقاومة الكهربائية الأفضل ( $k\Omega$ ) (83) وذلك من خلال جهاز المجهر الإلكتروني الماسح (SEM) بمقاييس كبيرة مختلفة ( $\mu\text{m}$ ) (5,10,20,100)، حيث نلاحظ من الصور وجود شرائح نانوية متراكمة وبأشكال هندسية وبسمك莋ن قليلة في عينة أكسيد الغرافين المرجع حيث تراوحت سمكاتها (1-6nm) كما هو واضح في الشكل (5).



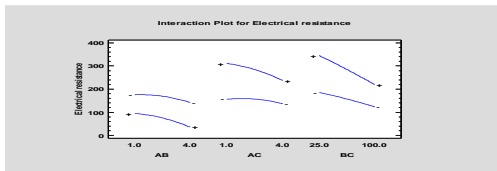
الشكل (5) صور (sem) سطح الخيط المعالج بأكسيد الغرافين المرجع

- a- صور (sem) لشرائح الغرافين على سطح شعرة الخيط المعالج بالغرافين بمقاييس كبيرة (5 $\mu\text{m}$ ).
- b- صور (sem) لشرائح الغرافين على سطح شعرة الخيط المعالج بالغرافين بمقاييس كبيرة (10 $\mu\text{m}$ ).
- c- صور (sem) لشرائح الغرافين على سطح شعرات الخيط المعالج بالغرافين بمقاييس كبيرة (20 $\mu\text{m}$ ).
- d- صور (sem) لشرائح الغرافين على سطح شعرات الخيط المعالج بمقاييس كبيرة (100 $\mu\text{m}$ ).

كما يبين الشكل (6) تحليل التركيب العنصري للخيط المعالج بأكسيد الغرافين المرجع حيث نلاحظ وجود قم لكل من عنصر C و O يدل على تشكيل أكسيد الغرافين المرجع على سطح الخيط، وبنسبة وزنية ذرية للكربون والأوكسجين (C/O) 1.82% و 1.37% على الترتيب، حيث يتضح أن نسبة الكربون

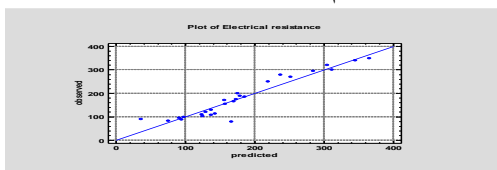
الأحمر، يونس والغربي

ال المرجع حيث نلاحظ أنه لا يوجد تأثير متبادل بين عامل الزمن وعامل درجة الحرارة على انخفاض المقاومة الكهربائية أي في الوقت الذي تنخفض فيه المقاومة الكهربائية بزيادة الزمن تنخفض فيه المقاومة الكهربائية بزيادة درجة الحرارة، كما نلاحظ أنه لا يوجد تأثير متبادل بين عامل الزمن وعامل التركيز على انخفاض المقاومة الكهربائية أي في الوقت الذي تنخفض فيه المقاومة الكهربائية بزيادة الزمن تنخفض فيه المقاومة الكهربائية بزيادة التركيز، وأيضاً نلاحظ أنه لا يوجد تأثير متبادل لعامل الحرارة وعامل التركيز على انخفاض المقاومة الكهربائية، أي في الوقت الذي تنخفض فيه المقاومة الكهربائية بزيادة التركيز تنخفض في المقاومة الكهربائية بزيادة درجة الحرارة.



الشكل (9) مخطط التأثير المتبادل لمعاملات الدخل على المقاومة الكهربائية

تم اختبار النموذج التبؤى من خلال البرنامج برسم مخطط التأثير الخطى بين معاملات الدخل وقيم الخواص المقاسة وتم الحصول على المخطط (الشكل 10) الذى يبين العلاقة بين القيم المتوقعة من المعادلة 1 والقيم التجريبية للمقاومة الكهربائية حيث نلاحظ تبعثر القيم المقاومة الكهربائية بشكل قريب جداً من الخط المستقيم وهذا يدل على أن القيم التجريبية مطابقة بشكل كبير للقيم المقاسة.

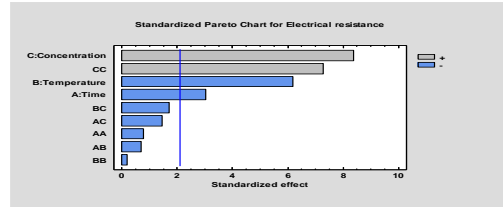


الشكل (10) مخطط التأثير الخطى بين معاملات الدخل وقيم الخواص المقاسة للمقاومة الكهربائية

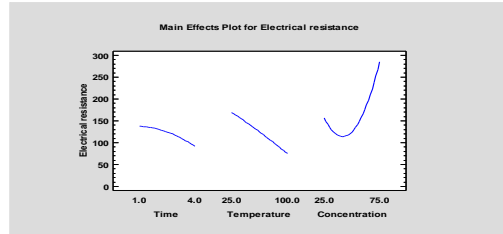
## ثانياً: تحليل (ANOVA) : Variance for Evenness Analysis of

المذكورة الإحصائية لخصائص الخيوط القطنية المعالجة بحبر الغرافين.....

عكسى حيث كلما ازداد الزمن تنخفض المقاومة الكهربائية للخيط القطنى المعالج بأكسيد الغرافين المرجع، أما بالنسبة للتأثير المتبادل لعامل درجة الحرارة والتركيز كان تأثيره عكسي على المقاومة الكهربائية وأكبر من التأثير المتبادل لكل لعامل درجة الحرارة والزمن والتأثير المتبادل لدرجة الحرارة والتركيز.



الشكل (7) مخطط تأثير مقادير الدخل على المقاومة الكهربائية



الشكل (8) مخطط تأثير معاملات الدخل المستقلة على المقاومة الكهربائية

يبين الشكل (8) مخطط تأثير معاملات الدخل المستقلة على المقاومة الكهربائية للخيط القطنى المعالج بأكسيد الغرافين المرجع، حيث نلاحظ انخفاض قيمة المقاومة الكهربائية للخيط المعالج من (k $\Omega$ ) (95) إلى (135) مع زيادة زمن الإراغع بشكل مستقل من (1) إلى (4)، كما تنخفض أيضاً قيمة المقاومة الكهربائية من (k $\Omega$ ) (83) إلى (175) مع زيادة عامل درجة الحرارة بشكل مستقل من (c°) (25) وحتى (c°) (100)، في حين أن المقاومة الكهربائية تنخفض من (k $\Omega$ ) (130) إلى (155) مع زيادة عامل التركيز بشكل مستقل من (ml) (25) إلى (ml) (50)، ثم مع زيادة التركيز من (ml) (50) إلى (ml) (75) تبدأ المقاومة الكهربائية للخيوط القطنى المعالجة بأكسيد الغرافين المرجع بالارتفاع من جديد من (k $\Omega$ ) (130) إلى (k $\Omega$ ) (300).

يبين الشكل (9) مخطط التأثير المتبادل لمعاملات الدخل على المقاومة الكهربائية للخيط القطنى المعالج بأكسيد الغرافين

الأحمر، يونس والغربي

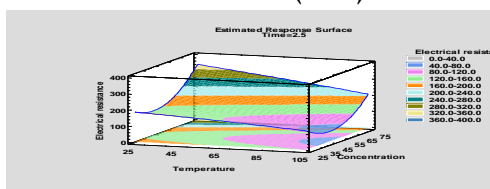
المنذجة الإحصائية لخصائص الخيوط القطنية المعالجة بحبر الغرافين.....

كما استخدم دليل الارتباط ( $R^2$ ) لقياس درجة الارتباط بين تغير قيمة المقاومة الكهربائية بالنسبة لقيم متغيرات الدخل والتي هي (الزمن وتركيز محلول أكسيد الغرافين ودرجة الحرارة)، وتمت الاستعانة ببرنامج STATGRAPHICS للحصول على نموذج رياضي تبؤى لقيم المقاومة الكهربائية وكانت النتائج موضحة في المعادلة 1:

$$\text{Electrical resistance} = 346.877 + 33.0494 * \text{Time} + 0.0908642 * \text{Temperature} + 10.8656 * \text{Concentration} - 4.61728 * \text{Time}^2 - 0.115556 * \text{Time} * \text{Temperature} - 0.362222 * \text{Time} * \text{Concentration} - 0.00169877 * \text{Temperature}^2 + 0.0168889 * \text{Temperature} * \text{Concentration} + 0.153778 * \text{Concentration}^2$$

يلاحظ قيمة دليل الارتباط ( $R^2 = 91.223\%$ ) وبالتالي يوجد ارتباط مهم بين قيم معاملات الدخل المدروسة (تركيز محلول وزمن الغمر ودرجة الحرارة) قيم المقاومة الكهربائية.

وبتوزيع قيم المقاومة الكهربائية على مخطط ثلاثي الأبعاد للسطح والذي يمثل مُعاملات الدخل نحصل على المخطط شكل (11) حيث يوضح الشكل وجود انحناء بسيط على السطح وهذا يعود إلى تأثير تبادلي ضعيف بين المعاملات المدروسة ضمن مجال تغير قيم درجة الحرارة والتركيز وذلك عند زمن ثابت 2.5 ساعة.



الشكل (11) مخطط ثلاثي الأبعاد لقيم المقاومة الكهربائية عند ثبات الزمن

كما يبين الشكل (12) مخطط ثلاثي الأبعاد لقيم المقاومة الكهربائية عند تغير المعاملات المدروسة حيث يلاحظ وجود انحناء بسيط على السطح وهذا يعود إلى تأثير تبادلي ضعيف بين المعاملات المدروسة وذلك ضمن مجال تغير قيم درجة الحرارة والتركيز وذلك عند تركيز ثابت (50ml).

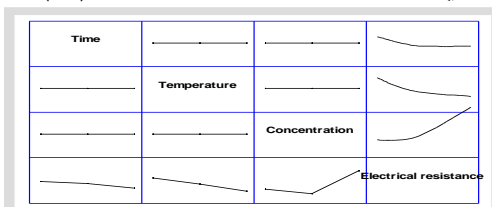
تم الاستعانة بتحليل ANOVA (الدراسة وتحليل أهمية تأثير كل من معاملات الدخل على المقاومة الكهربائية حيث يظهر الجدول (3) الذي يوضح تحليل التباين بين المعاملات المدروسة والتأثير المتبادل بينها على قيمة المقاومة الكهربائية ، حيث أن للتركيز ودرجة الحرارة تأثير حدي واضح على المقاومة الكهربائية حيث بلغت قيمة P-value للتركيز والحرارة 0.0000 أما الزمن فهو ذو تأثير منخفض نسبياً لكل من درجة الحرارة والتركيز حيث بلغت قيمة P-value للزمن 0.0076 ، وكما نلاحظ قيمة F-Ratio الأكبر هي لعامل التركيز 70.13 وبالتالي هو العامل الأكثر تأثير على المقاومة الكهربائية للخيط المعالج بأكسيد الغرافين المرجع إليه عامل درجة الحرارة ثم عامل الزمن.

الجدول (3) قيم P-Value لجميع المعاملات المستقلة والتأثير المتبادل فيما بينها

P-Value	F-Ratio	Mean Square	Df	Sum of Squares	Source
0.0076	9.16	9568.06	1	9568.06	A:Time
0.0000	38.17	39856.1	1	39856.1	B:Temperature
0.0000	70.13	73216.9	1	73216.9	C:Concentration
0.4418	0.62	647.574	1	647.574	AA
0.4953	0.49	507.0	1	507.0	AB
0.1635	2.12	2214.08	1	2214.08	AC
0.8584	0.03	34.2407	1	34.2407	BB
0.1078	2.88	3008.33	1	3008.33	BC
0.0000	53.08	55424.1	1	55424.1	CC

الأحمر، يونس والغربي

الحرارة وانخفاض التركيز ويعزى ذلك إلى أنه مع زيادة الزمن تزداد عملية الإرجال أي يتم زيادة نزع ذرات الأوكسجين من طبقات أكسيد الغرافين، وكذلك الأمر بالنسبة لعامل درجة حرارة الذي يعزز بارتفاعه من عملية الإرجال، وبالتالي زيادة تغلغل ذرات الهيدرازين بين طبقات أكسيد الغرافين وهذا بدوره يؤدي إلى تحسين الناقلية الكهربائية، في حين أنه كلما زاد تركيز أكسيد الغرافين تخفض المقاومة الكهربائية ولكن عند حد معين من تركيز أكسيد الغرافين والذي هو (50ml) حيث بعد هذا التركيز ترتفع المقاومة الكهربائية من جديد وهذا يعزى إلى عدم استكمال عملية الإرجال لعدد من طبقات أكسيد الغرافين على الخطوط عند التراكيز الكبيرة لأكسيد الغرافين وذلك ضمن شروط المدروسة ويمكن تلخيص العلاقة بالمخطط شكل(15).

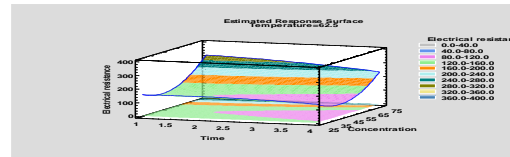


الشكل (15) مخططات العلاقة بين المقاومة الكهربائية والمعاملات المدروسة (التركيز-الזמן-درجة الحرارة)

كما نستنتج أن أقل مقاومة كهربائية للخيط المعالج بأكسيد الغرافين المرجع هي ( $83k\Omega$ ) والتي تم الحصول عليه عند إرجاع أكسيد الغرافين على الخيط بشرط معينة (درجة حرارة( $100^{\circ}\text{C}$ ), وזמן ساعتين، وتركيز (50ml)).

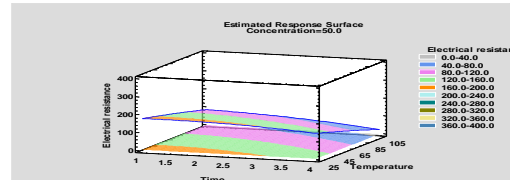
تم دراسة السلوك الحراري للخيط القطني المعالج بأكسيد الغرافين ذي المقاومة الكهربائية الأقل ( $83k\Omega$ ) من خلال تطبيق عملي حيث تم تشكيل الكترود محاك من الخيط المعالج بأكسيد الغرافين المرجع، وتم تطبيق جهد (20v) على الخيط المعالج، فكان التيار المار (A) 0.05، كما كانت الاستطاعة الكهربائية (wat) 1، وتم قياس درجة الحرارة المتولدة عن الخيط فكانت ( $38^{\circ}\text{C}$ ) وتم خياطة الخيط المعالج بحبر الغرافين كما هو موضح بالشكل (16).

### المذجدة الإحصائية لخصائص الخيوط القطنية المعالجة بحبر الغرافين.....



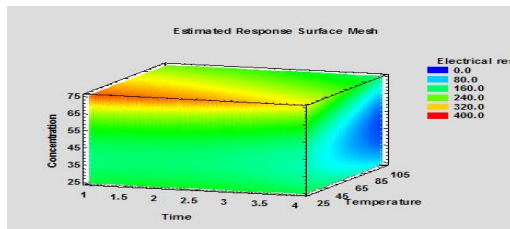
الشكل (12) مخطط ثلاثي الأبعاد لقيم المقاومة الكهربائية عند ثبات درجة الحرارة

كما يبين الشكل (13) مخطط ثلاثي الأبعاد لقيم المقاومة الكهربائية عند تغير المعاملات المدروسة حيث يلاحظ أن السطح بشكل مستو ولا يوجد فيه انحداء وهذا يعود إلى عدم وجود تأثير تبادلي بين المعاملات المدروسة ضمن مجال تغير قيم الزمن التركيز وذلك عند درجة حرارة ثابتة ( $62.5^{\circ}\text{C}$ ).



الشكل (13) مخطط ثلاثي الأبعاد لقيم المقاومة الكهربائية الأبعاد عند ثبات التركيز

نلاحظ من الشكل (14) مخطط توزيع تغير قيم المقاومة الكهربائية مع تغير المعاملات المدروسة (الزمن - التركيز - درجة الحرارة) حيث نلاحظ أن مجال انخفاض قيم المقاومة الكهربائية كان أكبر عند أعلى قيمة لعامل درجة الحرارة (100)، وزيادة التركيز إلى حد معين (50)، وعند أعلى قيمة للزمن ساعتين.



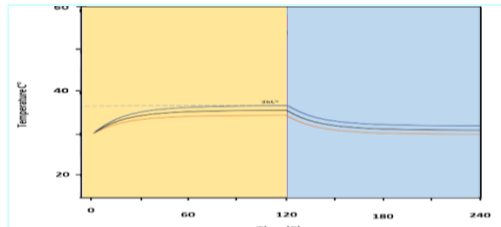
الشكل (14) مخطط ثلاثي الأبعاد لتوزيع قيم المقاومة الكهربائية المتغيرة مع تغير الزمن والحرارة والتركيز

ويمكن تلخيص ما سبق في الشكل (15) الذي يوضح أن انخفاض المقاومة الكهربائية للخيوط المعالجة بأكسيد الغرافين تتناسب طرداً مع التركيز وعكساً مع الزمن ودرجة الحرارة أي أن الناقلية الكهربائية تكون أفضل مع ارتفاع الزمن ودرجة

الأحمر، يونس والغربي

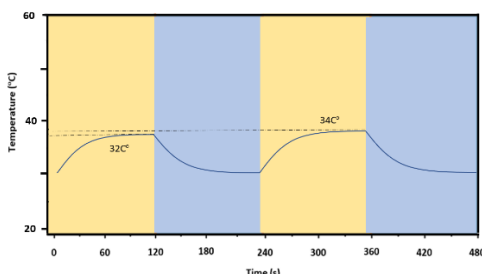
المذكورة الإحصائية لخصائص الخيوط القطنية المعالجة بحبر الغرافين.....

زيادة سمك حبر الغرافين على الخيط وبالتالي انخفاض المقاومة الكهربائية وزيادة كمية التيار الكهربائي والطاقة الحرارية المتولدة فيه.



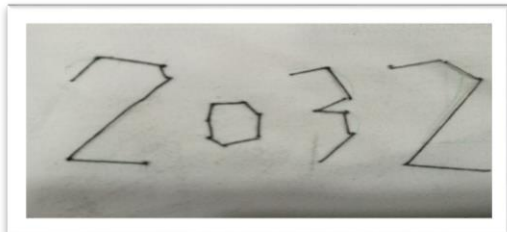
الشكل (18) علاقة الوقت ودرجة الحرارة بسمك الطبقات حبر الغرافين المعالج بها الخيط

يوضح الشكل (19) العلاقة بين الزمن ودرجة الحرارة عندما تطبيق جهد (v) 20 لمرة (mints) 8 بشكل متناوب (on-off)، متضمنة (min) 2 طور تشغيل و (min) 2 طور إيقاف على التناوب، حيث عندما تم تطبيق جهد (20v) لمدة 2 (min) ارتفعت درجة الحرارة المتولدة من الخيط المعالج بحبر الغرافين من درجة حرارة الغرفة إلى 32 (درجة مئوية)، وعندما تم فصل الجهد لمدة 2 (min) انخفضت درجة الحرارة إلى درجة حرارة الغرفة، وعند العودة إلى طور التشغيل لمدة (min) 2 أيضاً ارتفعت درجة الحرارة من جديد حتى وصلت إلى 34 (درجة مئوية)، ويعود سبب ارتفاعها إلى هذه القيمة بسبب احتفاظ الخيط بكمية قليلة من الحرارة من طور التشغيل السابق، ثم انخفضت درجة الحرارة من جديد إلى درجة حرارة الغرفة بعد فصل منبع الجهد المطبق على الخيط المعالج بحبر الغرافين.



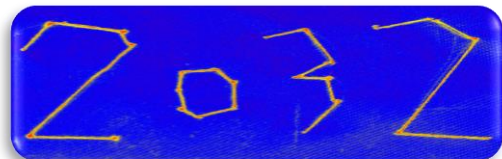
الشكل (19) العلاقة بين الزمن ودرجة الحرارة عندما تم تطبيق جهد 20 فولت لمدة 8 دقائق بشكل متناوب (on-off)

## 7. النتائج:



الشكل (16) الكترود من الخيط المعالج بأكسيد الغرافين المرجع

تم قياس التوزع الحراري ضمن الالكتروني من خلال كاميرا حرارية بالأشعة تحت الحمراء IR كما هو موضح في الشكل (17) حيث تم التصوير باستخدام الأشعة تحت الحمراء بدلاً عن الضوء المرئي وبالتالي عوضاً عن الطول الموجي -450nm للضوء المرئي يتم استخدام طول موجي للأشعة تحت الحمراء (nm) 1400، وكانت الأشعة متوجهة وبتوزيع حراري على طول الالكتروني، ونلاحظ أنها بكثافة كبيرة في الأجزاء القصيرة منه حيث أن طول الالكتروني يؤثر على التوزع الحراري ضمنه.



الشكل (17) قياس التوزع الحراري ضمن الالكتروني من خلال كاميرا

الحرارية بالأشعة تحت الحمراء IR

كما تم دراسة البارامترات المؤثرة على درجة الحرارة المتولدة من الخيط المعالج بحبر الغرافين حيث يوضح الشكل (18) علاقة الوقت ودرجة الحرارة بسمك الطبقات حبر الغرافين المعالج بها، فعندما تم تطبيق جهد (v) 20، ارتفعت درجة الحرارة من درجة حرارة الغرفة (30°C) حتى وصلت إلى (36°C) بعد 120 ثانية، بعد أن كانت درجة الحرارة (32°C) عند الطلاء الأول وبالتالي (36°C) هي أعلى قيمة تم الوصول إليه عندما تم تطبيق حبر الغرافين بسمك 3 طبقات على الخيط، ثم مع إيقاف تشغيل الجهد انخفضت درجة الحرارة لتعود إلى درجة حرارة الغرفة، وبالتالي زيادة عدد الطبقات يؤدي إلى ارتفاع درجة الحرارة ونفسه الزيادة في كمية الحرارة المنبعثة نتيجة

الأحمر، يونس والغربي

لأكسيد الغرافين، كما نلاحظ وجود قم لعنصر التتروجين (8.08%) حيث تعود إلى الهيدرازين المستخدم في عملية الإرجاع لأكسيد الغرافين.

- عندما تم دراسة البارامترات المؤثرة على درجة الحرارة المتولدة من الخيط المعالج بحبر الغرافين ذو المقاومة الكهربائية ( $k\Omega$ ) 83 بعد تطبيق جهد عليه (v) 20 كانت درجة الحرارة المتولدة عنه ( $C^0$ ) 32 حيث تزداد هذه القيمة بزيادة عدد طبقات الحبر على الخيط ويزاد قيمة الجهد المطبق حيث ارتفعت درجة الحرارة إلى ( $C^0$ ) 36 وذلك عند الطبقة الثالثة من حبر الغرافين على الخيط وعند قيمة جهد (v) 20.

وبالتالي إن تغير بارامترات عملية إرجاع أكسيد الغرافين على الخيط يؤثر بشكل كبير على ناقليّة الخيوط القطنية المعالجة بهذه الطريقة، وسيتم معالجة الخيوط القطنية بالغرافين بطريقة أخرى (الطلاء السطحي) في الأبحاث القادمة للمقارنة بالخواص المختلفة للخيوط المعالجة بكل الطرقتين لاختيار أفضل طريقة لمعالجة الخيوط بحبر الغرافين وإدراجها في التطبيقات الكهربائية والحرارية في الأقمشة الذكية القابلة للارتداء.

**التمويل:** هذا البحث ممول من جامعة دمشق وفق رقم التمويل (501100020595).

المذكورة الإحصائية لخصائص الخيوط القطنية المعالجة بحبر الغرافين.....

درست طريقة معالجة الخيوط القطنية بأكسيد الغرافين المرجع من خلال الإرجاع المباشر عليها وذلك من خلال عامل الإرجاع محلول الهيدرازين لأكسيد الغرافين وذلك ضمن حمام من الأمواج الفوق صوتية وشروط مختلفة من زمن التفاعل ودرجة الحرارة وتركيز أكسيد الغرافين، وتبين أنّ تغيير شروط عملية الإرجاع يؤثر بصورة كبيرة على الخواص الكهربائية للغرافين المحضر على الخيط القطني حيث أظهرت نتائج المذكورة الإحصائية لهذه البارامترات ما يلي:

- انخفاض المقاومة الكهربائية للخيوط المعالجة بأكسيد الغرافين تتناسب طرداً مع التركيز وعكساً مع الزمن ودرجة الحرارة، وتم الحصول على أفضل ناقليّة كهربائية للخيط المعالج بهذه الطريقة حيث كانت المقاومة الكهربائية ( $K\Omega$ ) (83) للخيط القطني المعالج بأكسيد الغرافين المرجع عند درجة حرارة 100 (درجة مئوية) وزمن ساعتين ونصف وتركيز (ml) 50 من أكسيد الغرافين.

- من خلال دراسة طبوغرافية السطح للخيط المعالج بالغرافين ذو المقاومة الكهربائية الأفضل ( $k\Omega$ ) (83) بواسطة جهاز المجهر الإلكتروني الماسح (SEM) تبين ظهور شرائح نانوية متراكمة وبأشكال هندسية وبسمكوات قليلة حيث تراوحت سمكاتها (1-6nm).

- من خلال دراسة التركيب العنصري بواسطة جهاز تحليل التركيب العنصري للخيط المعالج بأكسيد الغرافين المرجع ذو المقاومة الكهربائية ( $k\Omega$ ) (83) لوحظ وجود قم لكل من عنصر C و O يدل على تشكيل أكسيد الغرافين المرجع على سطح الخيط المعالج بأكسيد الغرافين المرجع، وبنسبة وزنية وذرية للكربون والأوكسجين (C/O) 1.82 % على الترتيب حيث يتضح أن نسبة الكربون كانت أعلى من نسبة الأكسجين وهذا يدل على حدوث عملية الإرجاع مع ظهور بعض القم مثل الكبريت (16.52%) وهذا يدل على وجود آثار قليلة من حمض الكبريت المستخدم وعدم حدوث عملية التقىة بشكل جيد

9. Rchana.S and Bordes.R.( 2020)."Nanoparticles Incorporated Graphene-Based Durable Cotton Fabrics", vol10, pp.2396–2403.

10. P. Drzaic et al,(2010) "L: A Printed and Rollable Bistable Electronic Display," in SID Symposium Digest of Technical Papers, vol. 29, no. 1, pp. 1131-1134: Wiley Online Library.

11. K. Cherenack and L. v. Pieterson,(2012). "Smart textiles: Challenges and opportunities," vol. 112, no. 9, p. 091301.

12. P. Kewen, F. Yangyang, L. Ting et al., (2018). Sustainable production of highly conductive multilayer graphene ink for wireless connectivity and IoT applications. Nature communication vol 9:5197.

13. F. Jiang, J.Sun, F.Sun L, Wang.T, Liu.Y, Li.M (2019). Flexible wearable graphene/alginate composite non-woven fabric temperature sensor with high sensitivity and anti-interference. Cellulose 27:2369–2380.

14. Sahitoa.T,Sun.K(2015).Integrating high electrical conductivity and photocatalytic activity in cotton fabric by cationizing for enriched coating of negatively charged graphene oxide. arbohydrate Polymers 130 (2015) 299–306.

15. He.S, Xin.B.(2021).Functionalization of cotton by reduced graphene oxide for improved electrical conductivity. Textile Research Journal.

16. K. Alexander and M, Shlom. (2017).Conductive nanomaterials for 2D and 3D printed flexible

## 8. References:

1. Tang.Y, Guo.B, Cruz.M et al.,(2022).Colorful Conductive Threads for Wearable Electronics: Transparent Cu–Ag Nanonets. Advanced Science. vol 9 pp 10.
2. Jakubinek.M et al., (2012). Thermal and electrical conductivity of array-spun multi-walled carbon nanotube yarns. Carbovol 50 pp 244 – 248.
3. A. C. Siegel, S. T. Phillips, M. D. Dickey, N. Lu, Z. Suo, and G. M. Whitesides. (2010)."Foldable Printed Circuit Boards on Paper Substrates," Advanced Functional Materials, vol. 20, no. 1, pp. 28-35,
4. S. Afroj et al.,(2022)."Highly Conductive, Scalable ,and Machine Washable Graphene-Based E-Textiles for Multifunctional Wearable Electronic Applications" vol 30, p.2000293.
5. Karim.N, Afroj.S et al., (2017)."Scalable Production of Graphene-Based Wearable E-Textiles". vol 11, pp.12266–12275.
6. K.Alexander and M,Shlom,(2019)."Stretchable and Designable Textile Pattern Strain Sensors Based on Graphene Decorated Conductive Nylon Filaments".vol pp.48.1712-1740.
7. P. Sungmee and S. Jayaraman, (2003)."Enhancing the quality of life through wearable technology," Engineering in Medicine and Biology Magazine, vol. 22, no. 3, pp. 41-48.
8. He.S, Xin.B et al.,( 2018)."Functionalization of cotton by reduced graphene oxide for improved electrical conductivity". vol (00) pp1–13.

الأحمر، يونس والغربي

المذكورة الإحصائية لخصائص الخيوط القطنية المعالجة بحبر الغرافين.....

25. Yun.Y, Hong.W, Kim.W et al., (2013). A Novel Method for Applying Reduced Graphene Oxide Directly to Electronic Textiles from Yarns to Fabrics. *Adv. Mater.* 10(1002).
26. S. Noothongkaew and O. Thumthan, (2017). Scalable Production of Graphene-Based Wearable E-Textiles". American Chemical Societ.11(2017)12266–12275.
17. Liu.Y· Li1.Z et al.,(2021). Scale production of conductive cotton yarns by sizing process and its conductive mechanism. *SN Applied Sciences* (2021) 3:611.
18. Samanta.A and Bordes.R. (2020).Conductive textiles prepared by spray coating of water-based graphene dispersions. *The Royal Society of Chemistry* 10, (2396–2403).
19. Noothongkaew and O. Thumthan, (2017). Scalable Production of Graphene-Based Wearable E-Textiles. American Chemical Societ.11(2017)12266–12275.
20. Kkarim.N, Afroz.S et al.,(2018) Scalable Production of Graphene-Based Wearable E-Textiles.*ACS Nano* .11, 12266–12275.
21. Afroz.S, Tan.S Abdelkader.A, Kostya S. Novoselov, and Karim.N.(2020). Highly Conductive, Scalable, and Machine Washable Graphene-Based E-Textiles for Multifunctional Wearable Electronic. *ApplicationsAdv. Funct. Mater.* 30, 2000293.
22. Zhou.L, Luo.Q et al., (2020). Assembly of graphene oxide on cotton fiber through dyeing and their properties. *The Royal Society of Chemistry*,10, 11982–11989
23. Kkarim.N, Afroz.S et al., (2018). Scalable Production of Graphene-Based Wearable E-Textiles.*ACS Nano* .11, 12266–12275.
24. Yin.F, Hu.J, Hong.Z et al.,(2020). A review on strategies for the fabrication of graphene fibres with graphene oxide.*RSC Adv.*, 2020, 10, 5722–5733